

El desarrollo de la Mecánica Cuántica

- 1900 Radiación de cuerpo negro (Planck).
- 1905 Efecto fotoeléctrico y cuantas de energía (Einstein).
- 1905 Movimiento Browniano y tamaño atómico (Einstein).
- 1907 Calor específico de los sólidos y cuantización de la energía térmica (Einstein).
- 1911 Núcleo atómico (Rutherford).
- 1913 Modelo atómico (Bohr).
- 1916 Emisión estimulada y formación de líneas espectrales (Einstein).
- 1924 Dualidad onda-partícula (de Broglie).
- 1925 Principio de incerteza (Heisenberg).
- 1926 Mecánica ondulatoria (Schrödinger).
- 1928 Spin del electrón (Dirac).

Parte II

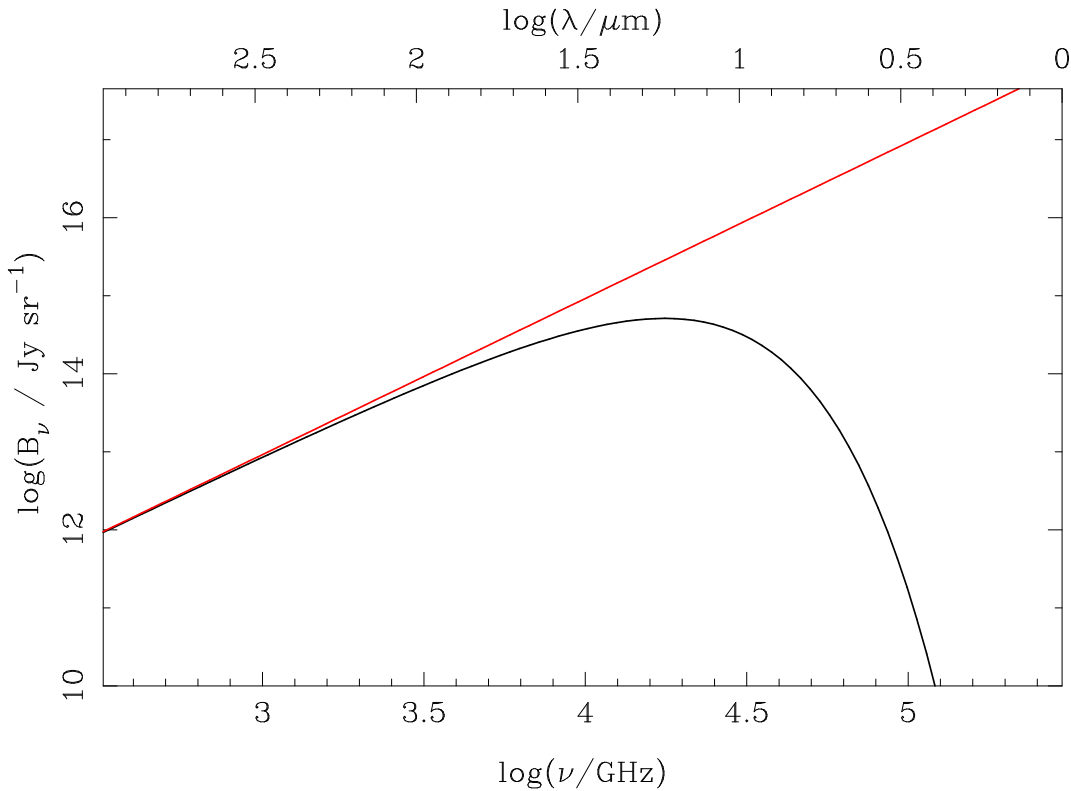
Mecánica Cuántica

Índice

II	Mecánica Cuántica	1
1.	El desarrollo del quantum	2
1.1.	Radiación de cuerpo negro	2
1.2.	Efecto fotoeléctrico	4
1.3.	Movimiento browniano	4
1.4.	Calor específico de los sólidos	4
2.	Teoría atómica	4
2.1.	Radioactividad natural	4
2.2.	Experimento de Rutherford	5
2.3.	Modelo de Bohr	5
2.4.	Coeficientes de Einstein	7
3.	Mecánica ondulatoria	7
3.1.	Dualidad onda-partícula	7
3.2.	Principio de superposición	7
3.3.	Incerteza (x, p) , (t, E)	7
3.4.	Ecuación de Schrödinger	7
3.5.	Soluciones de la ecuación de Schrödinger	7
4.	Spin y partículas idénticas	8

1. El desarrollo del quantum

1.1. Radiación de cuerpo negro



.4

- Densidad de estados de modos normales (\vec{E}, \vec{B}) en un volumen \mathcal{V} :

$$N(\nu) = \frac{4\pi\nu^2}{c^3} \mathcal{V}$$

- 2 grados de libertad de polarización por modo, cada uno con $kT/2 \Rightarrow$ la densidad de energía es:

$$\rho(\nu) = kTN(\nu) \Rightarrow \text{catástrofe UV.}$$

- Planck hip1: sacar promedio por modo cambiando $\int \rightarrow \sum$,

$$\langle U \rangle = \int \mathcal{P}(U) U dU \rightarrow \sum P(U) U, \text{ con } U = n\mathcal{U}.$$

- Planck hip2:

$$\mathcal{U} = h\nu.$$

- Experimento da $h = 6,62 \cdot 10^{-34} \text{ J s.}$

$$B_\nu = \frac{2h\nu^3}{c^2 [\exp(\frac{h\nu}{kT}) - 1]}.$$

.5

Propiedades de la función de Planck

- Ley de Wien:

$$\left. \frac{dB_\nu}{d\nu} \right|_{\nu_{\max}} = 0 \Rightarrow \frac{h\nu}{kT} \approx 4,965,$$

$$\boxed{\frac{\lambda_{\max}}{\text{cm}} \frac{T}{\text{K}} = 0,29}, \text{ con } \lambda_{\max} = c/\nu_{\max}. \text{ OJO: } B_\lambda d\lambda = B_\nu d\nu.$$

- Ley de Stefan-Boltzmann:

$$\int B_\nu d\nu = B(T) = \frac{2h}{c^2} \left(\frac{kT}{h} \right)^4 \int_0^\infty \frac{x^3}{e^x - 1} dx,$$

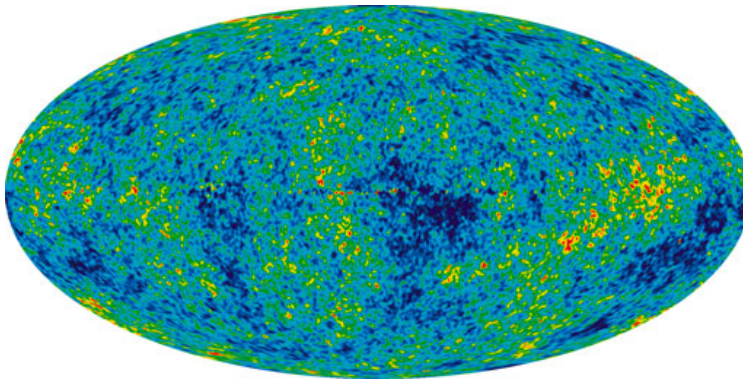
$B(T) = aT^4$, con $\sigma = a\pi = 5,67 \cdot 10^{-8} \text{ W m}^{-2} \text{ K}^{-4}$. Notar que $\pi B(T)$ es el flujo por unidad de área.

- Ley de Rayleigh-Jeans:

$$\lim_{h\nu \ll kT} B_\nu = \frac{2\nu^2}{c^2} kT \text{ caso clásico, } h \rightarrow 0.$$

.6

Ejemplo: radiación de fondo



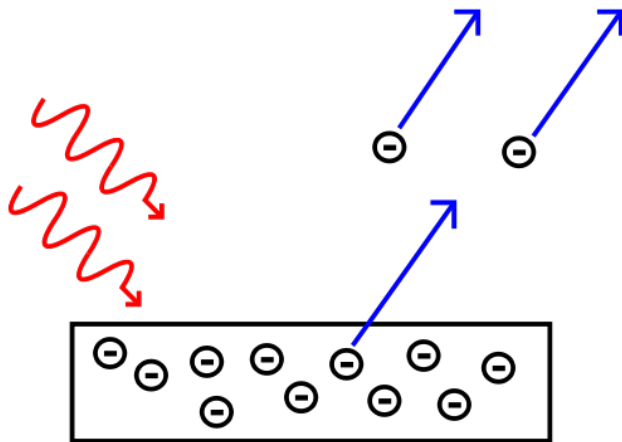
$$\underbrace{\frac{8}{3}\pi G \frac{\rho}{H}}_{\Omega_m} \pm \underbrace{\frac{1}{a^2 R^2 H}}_{\Omega_R} + \underbrace{\frac{\Lambda}{H^3}}_{\Omega_\Lambda} = 1,$$

$$\Omega_\Lambda \sim 0,7 \quad \Omega_R = 0, \quad \Omega_m \sim 0,3,$$

sólo 2% de Ω_m es contribuido por bariones.

.7

1.2. Efecto fotoeléctrico



Radiación UV extrae electrones. En el caso de un metal, se puede usar la placa conductora iluminada como elemento de un condensador

.8

1.3. Movimiento browniano

.9

1.4. Calor específico de los sólidos

.10

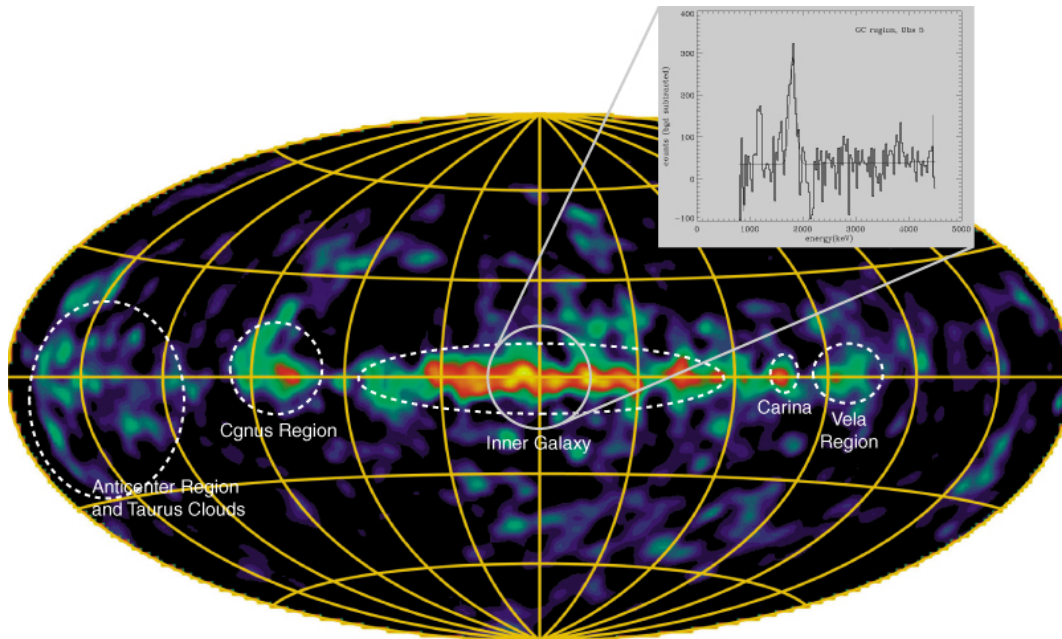
2. Teoría atómica

2.1. Radioactividad natural

Ejemplo: datación ^{14}C

.11

Ejemplo: irradiación temprana del sistema solar.



.12

2.2. Experimento de Rutherford

.13

Modelo planetario

Decaimiento radiativo en $\sim 10^{10}$ s.

.14

2.3. Modelo de Bohr

Espectroscopía

$$\frac{1}{\lambda} = R_H \left(\frac{1}{n^2} - \frac{1}{m^2} \right), \quad m > n, (m, n) \in \mathbb{N},$$

$$R_H = 109677,576 \text{ cm}^{-1}.$$

.15

Modelo de Bohr

1. Existen estados estacionarios para electrones en equilibrio dinámico, según mecánica clásica pero sin irradiar.
2. Si electrón pasa de estado E_n a E_m emite/absorbe $h\nu_{nm} = E_m - E_n$.
3. Niveles de energía:
 - 1: Las frecuencias de transición estan dadas por la fórmula de Balmer
 - o
 - 2: sólo son permitidas órbitas con $L = mvr = nh/2\pi$.
4. Principio de correspondencia, si $n \rightarrow \infty$ se recupera física clásica.

Tarea: demostrar que los Postulados 3.2 y 3.1 son equivalentes.

Tarea: comparar frecuencia clásica con frecuencia cuantica (en función del radio de la órbita).

.16

Regla de cuantización de Sommerfeld-Wilson

- ¿Qué relación existe entre cuantización de Planck ($E_n = nh\nu$) y Bohr ($L_n = n\hbar$)?
- Problema de Bohr: falla para átomos grandes.

Extensión del modelo de Bohr por Sommerfeld-Wilson:

$$\oint pdq = nh \text{ para variable cíclicas.}$$

- Orbitas ciculares: $L \leftrightarrow \theta \Rightarrow$

$$\oint Ld\theta = 2\pi L = nh$$

.17

Ejemplo cuantización de S.-W.: Oscilador armónico

$$E = \frac{p^2}{2m} + \frac{1}{2}m\omega^2q^2, \text{ es constante de movimiento,}$$

$$\Leftrightarrow \frac{q^2}{2E/(m\omega^2)} + \frac{p^2}{2mE} = 1.$$

Familias de elipses con $a^2 = 2E/(m\omega^2)$ y $b^2 = 2mE$,

$$\text{S.-W.} \Rightarrow \oint pdq = \pi ab = nh, \Rightarrow E_n = nh\nu \text{ Planck-Einstein.}$$

.18

Bohr, S.-W., y átomos grandes

Consideremos Lagrangiano de Coulomb en esféricas:

$$L = \frac{1}{2}m\dot{r}^2 + \frac{1}{2}mr^2\dot{\theta}^2 + \frac{e^2}{r} = L(r, \dot{r}, \dot{\theta}).$$

θ cíclica $\rightarrow \oint p_\theta d\theta = n_\theta h \rightarrow p_\theta = n_\theta \hbar$. En r ,

$$p_r = \frac{\partial L}{\partial \dot{r}} = m\dot{r} \rightarrow \oint p_r dr = n_r h.$$

n_θ, n_r son enteros independientes, i.e. existen DOS números cuánticos para órbitas elípticas.

Tarea:

$$E(n) = -\frac{me^2}{2\hbar^2 n^2}, \text{ con } n = n_\theta + n_r \text{ \# número cuántico principal,}$$

$$a = (n_r + n_\theta)^2 \frac{\hbar^2}{me^2} = \frac{n^2 K^2}{me^2}, \quad b = n_\theta(n_r + n_\theta) \frac{\hbar^2}{me^2} = n_\theta \frac{nK^2}{me^2}.$$

.19

Parches de parches...

- Pb. nuevo: se observan menos líneas en espectro que lo predecido por $E_n - E_m = h\nu$. Hay transiciones que no existen para átomos con $Z > 1$. Se parcha teoría con *reglas de selección*.
- $E(n_\theta, n_r) \rightarrow$ pueden haber varios valores de n_r, n_θ dato $E \rightarrow$ estados cuánticos degenerados.
- Si se introduce \vec{B} externo, se levanta degeneración:
 - Nivel degenerado conduce a un número impar de niveles $\rightarrow 0 \leq l < n$ y $L_z = m\hbar$ con $m = -l, -l+1, \dots, l-1, l$ (y resulta que $|L|^2 = l(l+1)\hbar^2$).
 - Nivel no degenerado igual se divide en DOS, con $m \sim s_z = (-\frac{1}{2}, \frac{1}{2})\hbar$.

.20

2.4. Coeficientes de Einstein

.21

3. Mecánica ondulatoria

3.1. Dualidad onda-partícula

.22

3.2. Principio de superposición

.23

3.3. Incerteza $(x, p), (t, E)$

Difracción de electrones

.24

Paquetes de ondas

.25

3.4. Ecuación de Schrödinger

.26

Corriente de probabilidad

.27

Ecuación de Klein-Gordon

.28

3.5. Soluciones de la ecuación de Schrödinger

Efecto tunel

.29

Átomo de hidrógeno	<u>.30</u>
Pozo de potencial infinito	<u>.31</u>
Oscilador armónico	<u>.32</u>

4. Spin y partículas idénticas